

# $\alpha$ 稳定分布噪声下的空间时频 DOA 估计

汪海滨<sup>a</sup>, 查代奉<sup>b</sup>, 龙俊波<sup>b</sup>

(九江学院 a. 信息科学与技术学院; b. 电子工程学院, 江西 九江 332005)

**摘要:** 当信号中存在  $\alpha$  稳定分布噪声时, 传统空间时频多重信号分类(STF-MUSIC)算法的空间波达方向(DOA)估计性能会降低甚至失效。为此, 利用分数低阶矩(FLOM)代替二阶协方差矩阵, 定义分数低阶矩空间时频分布矩阵(FLOM-STFDM)。对 FLOM-STFDM 进行特征分解, 得到适用于稳定分布噪声环境的空间时频 TF-FLOM-MUSIC 算法, 分析该算法的信噪比及误差估计, 并给出算法实现步骤。仿真结果表明, TF-FLOM-MUSIC 算法可有效降低 DOA 估计的均方误差, 提高估计的分辨率和平滑性。

**关键词:** 空间时频分布矩阵; 多重信号分类算法;  $\alpha$  稳定分布; 分数低阶统计量; 波达方向估计

## Spatial Time-frequency DOA Estimation Under $\alpha$ Stable Distribution Noise

WANG Hai-bin<sup>a</sup>, ZHA Dai-feng<sup>b</sup>, LONG Jun-bo<sup>b</sup>

(a. College of Information Science and Technology; b. College of Electronic Engineering, Jiujiang University, Jiujiang 332005, China)

**【Abstract】** The performance of Direction of Arrival(DOA) estimation based on conventional Spatial Time-frequency Multiple Signal Classification(STF-MUSCI) degenerates in  $\alpha$  stable distribution environment. A new Time-frequency Fractional Lower Order Moment MUSIC(TF-FLOM-MUSIC) method is proposed, second covariance matrix is substituted by Fractional Lower Order Matrix(FLOM) and Fractional Lower Order Moment Spatial Time-frequency Distribution Matrix(FLOM-STFDM) is defined, FLOM-STFDM is decomposed in the method. DOA estimation Mean Squared Error(MSE) and Generalized Signal Noise Ratio(GSNR) are analyzed and algorithm steps are summarized. Simulation results show that TF-FLOM-MUSIC algorithm can reduce effectively DOA estimation MSE and improve estimation resolution.

**【Key words】** Spatial Time-frequency Distribution Matrix(STFDM); Multiple Signal Classification(MUSIC) algorithm;  $\alpha$  stable distribution; Fractional Low Order Statistic(FLOS); Direction of Arrival(DOA) estimation

DOI: 10.3969/j.issn.1000-3428.2012.02.096

### 1 概述

在阵列信号处理中, 多重信号分类(Multiple Signal Classification, MUSIC)算法是分析平稳信号的一种常用算法, 它可实现信源波达方向(Direction of Arrival, DOA)的超分辨估计、信源的频率估计等。对于非平稳信号时频分布是有力的分析工具, 它描述信号的频率、能量随时间变化的分布过程, 已经被广泛应用在各信号处理领域, 如雷达、声纳、生物工程等。为使 MUSIC 算法能适用于非平稳信号领域, 文献[1-2]把时频分布引入矩阵信号处理中, 提出空间时频的概念。传统的相关矩阵只能用在稳定信号的 DOA 估计中, 空间时频矩阵和传统的相关矩阵不同, 它是一个时变的矩阵, 适合于稳定信号, 而且时变的非稳定信号也适用, 已经被广泛应用在非平稳信号的 DOA 估计和盲源分离等领域。文献[3]用伪 Wigner-Ville 分布(PWVD)构成空间时频分布矩阵, 提出一种空间时频多重信号分类(STF-MUSIC)估计方法, 并对调频信号的子空间和噪声子空间做了详细分析。STF-MUSIC 算法有效地提高了 DOA 估计的分辨率, 相比传统的 MUSIC 算法, 其信噪比最高可提高  $L$  倍( $L$  为 PWVD 加矩形窗的长度)。

在非平稳信号处理领域中, 如雷达、声纳、地震、生物工程存在一种具有显著脉冲的噪声, 这类噪声服从  $\alpha$  稳定分布<sup>[4-6]</sup>。当信号中存在  $\alpha$  稳定分布噪声时, 传统的 MUSIC 算法的性能会降低甚至失效。因此, 文献[7]用分数低阶共变矩阵取代协方差矩阵, 提出一种韧性的适用于稳定分布环境的 ROC-MUSIC 算法。文献[8]在文献[7]的基础上提出一种简化

的分数低阶矩空间时频矩阵(FLOM-STFDM)算法, 估计效果和 ROC-MUSIC 算法相当, 但减少了计算量。

在  $\alpha$  稳定分布噪声环境下, 传统的时频分布不适用, 文献[3]提出的空间时频多重信号分类(STF-MUSIC)算法性能较低甚至不能工作, 文献[9]用分数低阶协方差代替二阶协方差矩阵, 提出基于稳定分布的分数低阶协方差 WVD 算法。本文用分数低阶矩空间时频矩阵(FLOM-STFDM)取代 STFDM, 提出一种 TF-FLOM-MUSIC 算法。

### 2 ROC-MUSIC 算法和 FLOM-MUSIC 算法

雷达中  $r$  个均匀线阵的阵元接收到  $q$  个带噪的窄带信号 ( $r > q$ ), 第  $k$  个天线接收到的数据可以写成如下模型形式:

$$y_k(t) = \sum_{n=1}^q A_{kn} s_n(t) + v_k(t), k = 1, 2, \dots, r \quad (1)$$

$r$  个接收天线可写成如下矩阵形式:

$$y(t) = As(t) + v(t) \quad (2)$$

其中,  $y(t) = [y_1(t), y_2(t), \dots, y_r(t)]^T$  为接收阵列;  $A = [a_1, a_2, \dots, a_q]$  为  $r \times q$  信号方向矩阵;  $a_q = [1, e^{-j2\pi(d_q/\lambda)\sin(\theta_q)}, e^{-j2\pi(d_q/\lambda)\sin(\theta_q)}, \dots, e^{-j2\pi(d_q/\lambda)\sin(\theta_q)}]^T$  为第  $q$  个信号的入射向量;  $d_q$  为第 1 个天线到

**基金项目:** 国家自然科学基金资助项目(60772037); 江西省自然科学基金资助项目(2009GES0068); 江西省教育厅科技基金资助项目(GJJ 10266); 江西省卫生厅科技计划基金资助项目(20092076)

**作者简介:** 汪海滨(1980—), 女, 讲师、硕士, 主研方向: 阵列信号处理; 查代奉, 副教授、博士; 龙俊波, 讲师、硕士

**收稿日期:** 2011-04-07 **E-mail:** 29757916@qq.com

第  $q$  个天线的距离;  $\lambda$  为载波波长;  $\theta_q$  为第  $q$  个信号入射角度, 是所估计的 DOA;  $s(t) = [s_1(t), s_2(t), \dots, s_q(t)]^T$  为  $q \times 1$  的信号向量;  $v(t) = [v_1(t), v_2(t), \dots, v_r(t)]^T$  为加性噪声向量。假设信号与信号之间独立, 信号与噪声之间相互独立。

当  $v(t)$  为高斯噪声时, 采用传统 MUSIC 算法对式(2)求自相关矩阵, 再对其进行矩阵奇异值分解(SVD)后进行 DOA 估计。

当  $v(t)$  为  $\alpha$  稳定分布噪声时, 传统 MUSIC 算法性能降低甚至失效, 此时可用 ROC-MUSIC 或 FLOM-MUSIC 算法代替传统 MUSIC 算法, ROC-MUSIC 算法是用分数低阶共变取代自相关构成共变矩阵, 计算如式(3)所示, 具体方法参考文献[7]:

$$P_{\text{ROC-MUSIC}}(\theta) = \frac{1}{\sum_{i=q+1}^r |a^H(\theta)v_i|^2} \quad (3)$$

FLOM-MUSIC 算法是 ROC-MUSIC 算法的简化, 它是用 FLOM 矩阵代替共变矩阵, FLOM-MUSIC 算法的 DOA 估计式同式(3), 具体方法参考文献[8]。

### 3 TF-FLOM-MUSIC 算法及其实现

#### 3.1 TF-MUSIC 算法

时频分布是非平稳信号分析的有力工具, 它描述信号的频率、能量随时间变化的分布过程, 已被广泛应用在各信号处理领域。一个信号  $x(t)$  的矩形窗 PWVD 时频分布离散为:

$$PWVD_x(t, f) = \sum_{\tau=-(L-1)/2}^{(L-1)/2} x(t+\tau)x^*(t-\tau)e^{-j4\pi f\tau} \quad (4)$$

其中,  $L$  为矩形窗的长度;  $*$  表示共轭。将式(2)代入式(4)并把共轭变为共轭转置, 得到空间伪 WVD(SPWVD)[3]:

$$D_{yy}(t, f) = \sum_{\tau=-(L-1)/2}^{(L-1)/2} y(t+\tau)y^H(t-\tau)e^{-j4\pi f\tau} \quad (5)$$

TF-MUSIC 算法利用 STFDM 代替传统的 MUSIC 算法中协方差矩阵, 再进行 SVD 求 DOA 估计, DOA 估计为:

$$A_{rr}^f = \sum_{\tau=-(L-1)/2}^{(L-1)/2} E \left\{ s_r(t+\tau) \left| \sum_{b=1}^r s_b(t-\tau) + v_r(t-\tau) \right|^{P-2} \cdot \left[ \sum_{n=1}^r s_b(t-\tau) + v_r(t-\tau) \right]^* \right\} e^{-j4\pi f\tau} \quad (11)$$

$$Y_{rr}^f = \sum_{\tau=-(L-1)/2}^{(L-1)/2} E \left\{ v_r(t+\tau) \left| \sum_{b=1}^r s_b(t-\tau) + v_r(t-\tau) \right|^{P-2} \cdot \left[ \sum_{n=1}^r s_b(t-\tau) + v_r(t-\tau) \right]^* \right\} e^{-j4\pi f\tau} \quad (12)$$

四维矩阵 FLOM-STFDM 的计算式如下:

$$Z(t, f) = \{Z_{nl}(t, f), n, l = 1, 2, \dots, r\} \quad (13)$$

$$Z_{nl}(t, f) = \sum_{\tau=-(L-1)/2}^{(L-1)/2} E \left\{ x_n(t+\tau) |x_l(t-\tau)|^{P-2} x_l^*(t-\tau) \right\} e^{-j4\pi f\tau} \quad (14)$$

对于非平稳信号  $s(t)$  (本文以调频信号为例),  $q$  个信号能量在时频平面上是沿瞬时频率分布, 那么对第  $q$  个信号沿瞬时频率能量最高的  $(t_i, f_i^i)$  点选出矩阵  $Z(t_i, f_i^i)$  构成新的矩阵, 其中,  $i = 1, 2, \dots, N-L+1$ ;  $f_i^i$  为  $t_i$  时刻信号的瞬时频率。对  $N-L+1$  个  $Z(t_i, f_i^i)$  求平均, 得到第  $q$  个信号单独的矩阵:

$$Z_q(t, f) = \frac{1}{N-L+1} \sum_{i=1}^{N-L+1} Z(t_i, f_i^i) \quad (15)$$

对  $Z_q(t, f)$  进行特征分解, 将分解后的  $r$  个特征值按降序排列, 得到最大的特征值对应的特征向量为  $v_1$ , 令  $V_q = \{v_{r-1}, v_{r-2}, \dots, v_r\}$ , 则第  $q$  个信号的 TF-FLOM-MUSIC 算法 DOA 估计为:

$$P_{\text{TF-FLOM-MUSIC}}(\theta) = \frac{1}{a^H(\theta)V_q(V_q^H a(\theta))}, -90^\circ \leq \theta \leq 90^\circ \quad (16)$$

对  $q$  个信号进行上述过程, 得到  $q$  个信号的 DOA 估计。

$$P_{\text{MUSIC}}^f(\theta) = \frac{1}{a^H(\theta)\hat{G}^f(\hat{G}^f)^H a(\theta)} \quad (6)$$

TF-MUSIC 算法可实现对接收到的多个信号中某个信号的单独矩阵提取, 相当于一个空间带通滤波器, 在 2 个近角度信号 DOA 估计时体现良好的性能, 分辨率高于传统 MUSIC 算法。

#### 3.2 TF-FLOM-MUSIC 算法

当  $v(t)$  为稳定分布噪声时, 接收序列  $y(t)$  二阶和高阶矩不存在, 式(5)、式(6)不再适用。寻求适合  $\alpha$  稳定分布噪声的时频分布, 文献[7]定义一种分数低阶协方差 WVD:

$$FLOC-WVD_x(t, f) = 2 \sum_{\tau} x(t+\tau)x^{<P>}(t-\tau)e^{-j4\pi f\tau} \quad (7)$$

其中,  $<P>$  表示  $P$  阶矩,  $s^{<P>} = |s|^P \text{sign}(s)$  ( $s$  为实信号),  $s^{<P>} = |s|^{P-1} \cdot s^*$  ( $s$  为复信号),  $s^{<P>} = (s^*)^{<P>} = (s^{<P>})^*$ ,  $*$  表示共轭,  $1 < P < \alpha \leq 2$ ,  $\alpha$  为稳定分布噪声的特征指数。

本文根据 FLOM 思想定义一个信号的分数低阶矩时频分布:

$$FLOM-WVD_x(t, f) = 2 \sum_{\tau} x(t+\tau)x^{<P-1>}(t-\tau)e^{-j4\pi f\tau} \quad (8)$$

根据式(5)和式(8)的过程, 同样定义一个信号  $x(t)$  空间时频分数低阶矩伪 WVD 为:

$$STF-FLOM-PWVD_x(t, f) = \sum_{\tau=-(L-1)/2}^{(L-1)/2} x(t+\tau)[x^{<P-1>}(t-\tau)]^T e^{-j4\pi f\tau} = \sum_{\tau=-(L-1)/2}^{(L-1)/2} x(t+\tau)[x(t-\tau)]^{P-2} x^*(t-\tau) e^{-j4\pi f\tau} \quad (9)$$

将式(2)代入式(9), 并在两边取数学期望, 得到分数低阶矩空间时频分布矩阵(FLOM-STFDM):

$$Z(t, f) = AA^f A^H + Y^f I \quad (10)$$

其中:

$$A^f = \text{diag}[A_{11}^f, A_{22}^f, \dots, A_{rr}^f]$$

$$Y^f = \text{diag}[Y_{11}^f, Y_{22}^f, \dots, Y_{rr}^f]$$

TF-FLOM-MUSIC 算法适用范围为  $1 < \alpha$ , 当稳定分布噪声脉冲性特别强时, 即  $1 < \alpha < 1$  时, FLOM 没有定义, 此时可用分数低阶协方差(FLOC)代替 FLOM 构成分数低阶协方差空间时频分布矩阵:

$$Z_{nl}^C(t, f) = \sum_{\tau=-(L-1)/2}^{(L-1)/2} E \left\{ [x_n(t+\tau)]^{<P>} [x_n(t-\tau)]^{<P>} \right\} e^{-j4\pi f\tau} \quad (17)$$

#### 3.3 TF-FLOM-MUSIC 算法的实现步骤

TF-FLOM-MUSIC 算法的具体描述如下:

(1) 根据式(14)或式(17)求  $Z_{nl}(t, f)$  (FLOM-STFDM) 或  $Z_{nl}^C(t, f)$  (FLOC-STFDM)估计(本文只求  $Z_{nl}(t, f)$ , 求  $Z_{nl}^C(t, f)$  的方法类似)。根据  $N(N > r)$  次快拍数据,  $Z_{nl}(t, f)$  估计为:

$$\hat{Z} = \{Z_{nl}, n, l = 1, 2, \dots, r\} \quad (18)$$

$$\hat{Z}_{nl} = \sum_{\tau=-(L-1)/2}^{(L-1)/2} x_n(t+\tau) |x_l(t-\tau)|^{P-2} x_l^*(t-\tau) e^{-j4\pi f\tau} \quad (19)$$

(2) 沿第 1 个信号的瞬时频率点选取  $N-L+1$  个  $\hat{Z}_1(t_i, f_i^i)$  估计, 对这  $N-L+1$  个矩阵求平均, 得到第 1 个信号的独立矩阵  $\hat{Z}_1(t, f)$  估计。

(3) 对  $\hat{Z}_1(t, f)$  进行特征分解, 求得后  $r-1$  个较小的特征值

对应的特征向量  $V = \{v_{r-1}, v_{r-2}, \dots, v_r\}$ 。

(4)把第 1 个信号的方向向量  $a(\theta)$  及步骤(3)求得的  $V$  代入式(16)进行谱估计, 谱峰对应的角度  $\theta_1$  是第 1 个信号的 DOA 估计。

(5)重复步骤(2)~步骤(4)得到  $q$  个信号的方向估计。

### 4 实验仿真与分析

假设雷达 8 个均匀天线阵列接收到 256 次带 SaS 噪声的 2 个复线性调频信号  $s(1)$  和  $s(2)$  的快拍数据, 信号的入射角度分别为  $\theta_1$  和  $\theta_2$ 。

$$s(1) = \exp[-0.004(n-80)^2 - 0.025j(n-80)^2 + j\omega_1(n-80)] \quad (20)$$

$$s(2) = \exp[-0.004(n-120)^2 - 0.025j(n-120)^2 + j\omega_2(n-120)] \quad (21)$$

其中,  $\omega_1 = 1.57$ ;  $\omega_2 = 1.2$ ;  $n = 1:256$ , 信号和 SaS 噪声的信噪比用广义信噪比(GSNR)表示,  $G_{GSNR} = 10 \times \lg(E\{|s(t)|^2\} / \gamma^\alpha)$ 。

定义信号的混合均方误差(MSE),  $K$  为 Monte-Carlo 实验次数:

$$M_{MSE} = \frac{1}{2K} \sum_{k=1}^K (\hat{\theta}_1 - \theta_1)^2 + \frac{1}{2K} \sum_{k=1}^K (\hat{\theta}_2 - \theta_2)^2 \quad (22)$$

#### 4.1 均方误差比较

假设  $\theta_1 = -20^\circ$ 、 $\theta_2 = 20^\circ$ , 稳定分布噪声环境下( $\alpha=1.5$ 、 $G_{GSNR}=15$  dB), 图 1 是加入  $\alpha=1.5$  的 SaS 噪声, 不同 GSNR 下 TF-MUSIC、FLOM-MUSIC( $P=1.3$ )、TF-FLOM-MUSIC( $P=1.3$ 、 $L=128$ )3 种算法的均方误差(MSE)比较。可以看出 GSNR 从 18 dB~24 dB 时, 3 种算法 MSE 差距较小, 当 GSNR 低于 14 dB 时, TF-FLOM-MUSIC 算法 MSE 明显低于其他 2 种算法。图 2 是  $G_{GSNR}=15$  dB, 取不同  $P$  时 FLOM-MUSIC 和 TF-FLOM-MUSIC 法 MSE 比较。

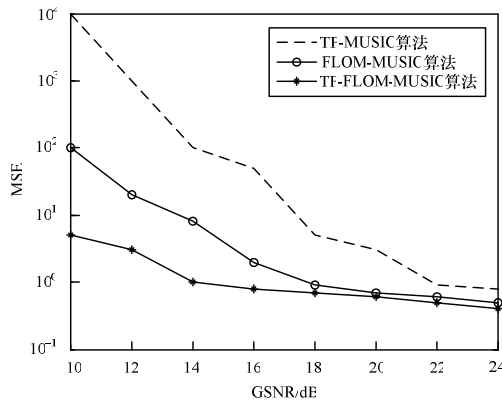


图 1 当  $\alpha=1.5$ 、 $P=1.3$ 、 $L=128$  时的均方误差比较

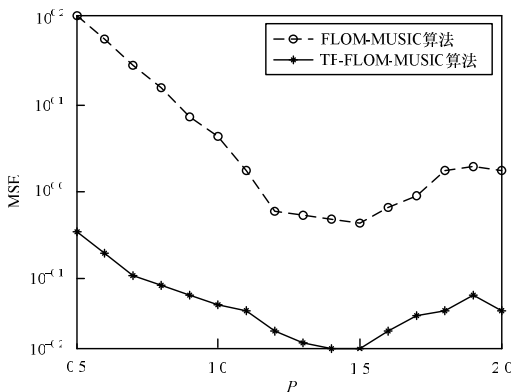
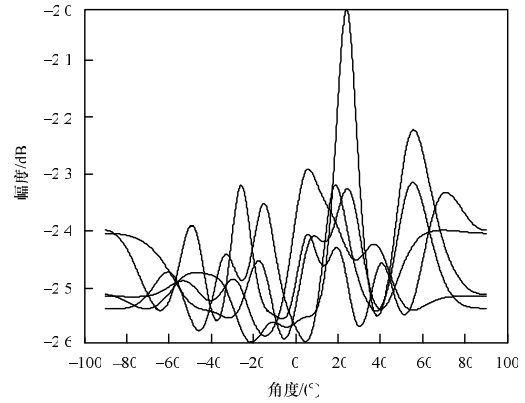


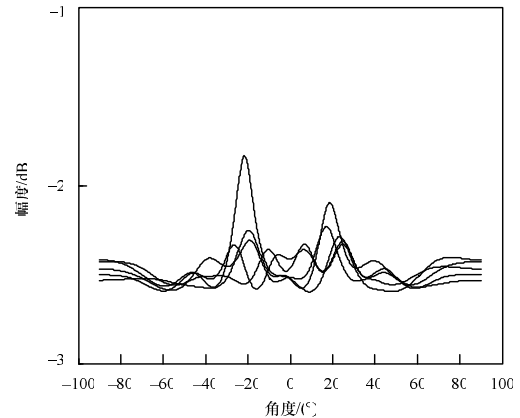
图 2 当  $\alpha=1.5$ 、 $G_{GSNR}=15$  dB、 $L=128$  时的均方误差比较

#### 4.2 DOA 估计性能比较

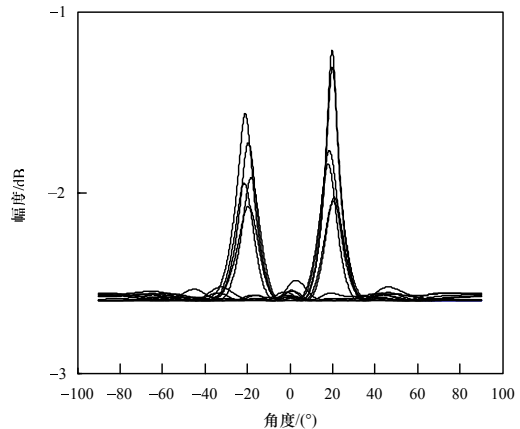
图 3 是 SaS 噪声( $\alpha=1.5$ )下,  $G_{GSNR}=10$  dB、 $\theta_1=-20^\circ$ 、 $\theta_2=20^\circ$ , TF-MUSIC、FLOM-MUSIC、TF-FLOM-MUSIC 3 种算法对 2 个信号角度的估计仿真(5 次独立实验)。可以看出, 低广义信噪比下 TF-FLOM-MUSIC 算法较好地估计出了信号的 DOA, 而 TF-MUSIC 和 FLOM-MUSIC 算法失效。



(a)TF-MUSIC 算法的 DOA 估计



(b) $P=1.3$  时 FLOM-MUSIC 算法的 DOA 估计



(c) $P=1.3$ 、 $L=128$  时 TF-FLOM-MUSIC 算法的 DOA 估计

图 3  $G_{GSNR}=10$  dB、 $\theta_1=-20^\circ$ 、 $\theta_2=20^\circ$  时算法的 DOA 估计

图 4 是 SaS 噪声( $\alpha=1.5$ )下,  $G_{GSNR}=20$  dB,  $\theta_1=-3^\circ$ 、 $\theta_2=3^\circ$ , TF-MUSIC、FLOM-MUSIC、TF-FLOM-MUSIC 3 种算法对 2 个近距离角度信号进行估计仿真(5 次独立实验)。TF-MUSIC、FLOM-MUSIC 算法不能分辨出  $\theta_1$  和  $\theta_2$ , TF-FLOM-MUSIC 算法能独立地对 2 个信号角度进行估计, 清晰估计出  $\theta_1$  和  $\theta_2$ , 体现了良好的分辨能力。

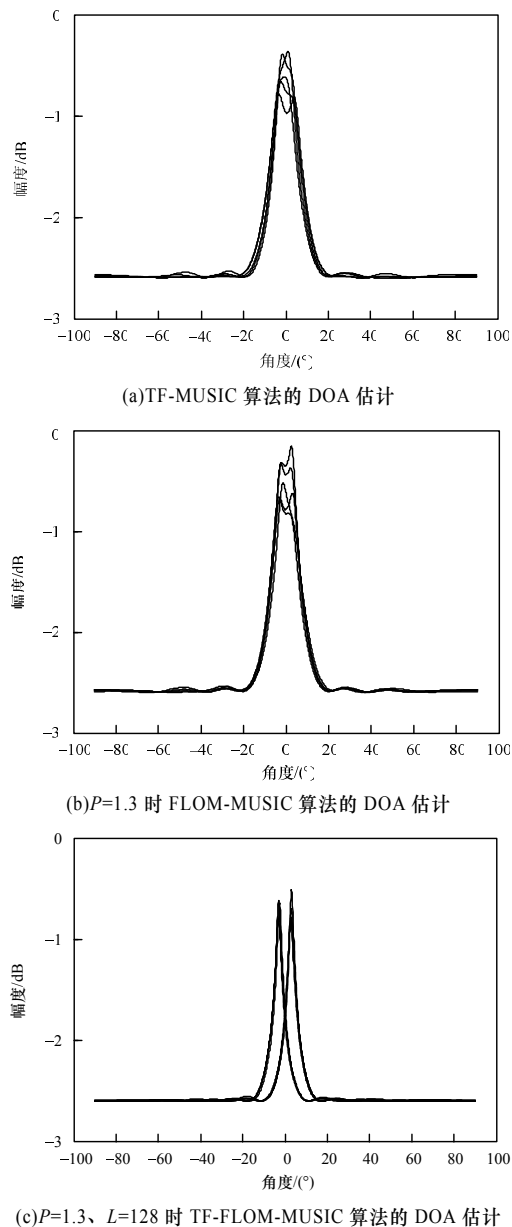


图4  $G_{\text{SNR}}=20$  dB、 $\theta_1=-3^\circ$ 、 $\theta_2=3^\circ$  时算法的 DOA 估计

编辑 陆燕菲

(上接第 283 页)

### 参考文献

- [1] Gallager R G. Low Density Parity Check Codes[J]. IRE Trans. on Information Theory, 1962, 8(1): 21-28.
- [2] MacKay D J C, Neal R M. Near Shannon Limit Performance of Low Density Parity-check Codes[J]. Electronics Letters, 1996, 32(18): 1645-1646.
- [3] MacKay D J C. Good Error-correcting Codes Based on Very Sparse Matrices[J]. IEEE Trans. on Information Theory, 1999, 45(2): 399-432.
- [4] Fossorier M P C. Quasi-cyclic Low Density Parity Check Codes from Circulant Permutation Matrices[J]. IEEE Trans. on Information Theory, 2004, 50(8): 1788-1793.
- [5] Gabidulin E, Moinian A, Honary B. Generalized Construction of Quasi-cyclic Regular LDPC Codes Based on Permutation Matrices[C]//Proceedings of IEEE International Symposium on Information Theory. Seattle, USA: IEEE Press, 2006: 679-683.

### 5 结束语

在稳定分布噪声环境下, 分数低阶矩空间时频矩阵 (FLOM-STFDM) 体现了各个信号(调频信号)在相同时刻、不同的频率分布特性。利用 FLOM-STFDM 取代 TF-MUSIC 算法中的 STFDM 和 FLOM-MUSIC 算法中的 FLOM 矩阵, 估计误差明显减小, TF-FLOM-MUSIC 算法为近距离角度信号和低广义信噪比 DOA 估计提供了一种新的途径。

### 参考文献

- [1] Belouchrani A, Amin M. Blind Source Separation Based on Time-frequency Signal Representation[J]. IEEE Transactions on Signal Processing, 1998, 46(11): 2888-2897.
- [2] Belouchrani A, Amin M. Time-frequency MUSIC[J]. IEEE Signal Processing Letters, 1999, 6(5): 109-110.
- [3] Zhang Yimin, Mu Weifeng, Amin M. Subspace Analysis of Spatial Time-frequency Distribution Matrices[J]. IEEE Transactions on Signal Processing, 2001, 49(4): 747-759.
- [4] Shao M, Nikias C L. Signal Processing with Fractional Lower Order Moments Instable Processed and Their Applications[J]. Proceedings of the IEEE, 1993, 81(7): 986-1010.
- [5] 江金龙, 查代奉, 梁宁利. 脉冲噪声环境下的韧性匹配滤波检测算法[J]. 计算机工程, 2010, 36(14): 256-258.
- [6] 龙俊波, 查代奉, 姜玉林. 基于  $\alpha$  稳定分布自共变的雷达回波频率谱估计[J]. 计算机应用, 2009, 29(12): 3224-3226.
- [7] Tsakalides P, Nikias L. The Robust Covariation-based MUSIC (ROC-MUSIC) Algorithm for Bearing Estimation in Impulsive Noise Environments[J]. IEEE Transactions on Signal Processing, 1996, 44(7): 1623-1633.
- [8] Liu Tsung-Hsien, Jerry M M. A Subspace-based Direction Finding Algorithm Using Fractional Lower Order Statistics[J]. IEEE Transactions on Signal Processing, 2001, 49(8): 1605-1613.
- [9] David W G, Juan G G. Robust Time-frequency Representations for Signals in  $\alpha$  Stable Noise Using Fractional Lower-order Statistics[C]//Proc. of Signal Processing Workshop on Higher-order Statistics. [S. l.]: IEEE Press, 1997: 415-419.

编辑 陆燕菲

- [6] Lin Shu, Song Shumei, Zeng Lingqi, et al. Construction of Non-binary Quasi-cyclic LDPC Codes: A Finite Field Approach[J]. IEEE Trans. on Communication, 2008, 56(4): 545-554.
- [7] Lan Lan, Zeng Lingqi, Ying Yi, et al. Construction of Quasi-cyclic LDPC Codes for AWGN and Binary Erasure Channels: A Finite Field Approach[J]. IEEE Trans. on Information Theory, 2007, 53(7): 2429-2458.
- [8] Jiang Xueqin, Lee Moon-Ho. Large Girth Non-binary LDPC Codes Based on Finite Fields and Euclidean Geometries[J]. IEEE Signal Processing Letters, 2009, 16(6): 521-524.
- [9] 周水红, 端木春江, 黄志亮, 等. 高性能准循环 LDPC 码构造方法的改进[J]. 计算机工程, 2010, 36(1): 277-279, 282.
- [10] 潘旭洲, 刘荣科, 王 潇. 基于多进制 LDPC 码的分布式视频编码[J]. 计算机工程, 2011, 37(17): 245-247.
- [11] 彭世章, 赵泽茂, 包建荣, 等. 一种低复杂度的准循环 LDPC 码构造[J]. 计算机工程, 2011, 37(13): 83-85.

编辑 张正兴

